

京都大学防災研究所 正員 石原安雄

雨水流出量の推定法には、分配図法、単位図法、流出閾数法などが実用化されており、著者も雨水流出用演算器の試作に成功した。しかしながら、これらの方針と用いる場合に、その精度を向上し、合理的な推定を行うためには、まず第一に、降雨の損失がより土中への浸透現象の実態を的確に把握することが肝要である。流域の平均浸透能に関する研究は、R.E.Horton 以来多数の人々によって研究されてきたが、その方法には、Horton型の浸透能曲線を仮定して流域の降雨量と流出量とから求めるものと、infiltrometer や円筒状容器につめた土砂への浸透実験から推定しようとするものとがある。これらの方法には種々の難点があるので、本研究は模型斜面における浸透実験を行い、流域の平均浸透能に関する基礎的知識をえようとしたものである。

1. 基礎的考察

雨水の土中への浸透現象は、いわゆる不飽和浸透と考えられる。いま、斜面に沿って下流方向に x 軸、それに垂直下向きに y 軸、斜面の傾斜角を θ とし、 γ および γ' をそれそれ水頭であらわした毛管ボテンシャルおよび圧力、 K を不飽和の透水係数とすると、浸透速度 V は、Darcy の法則を仮定すると、

$$\nabla = -k \operatorname{grad}(\varphi + p - z \cos \theta - x \sin \theta) \quad \dots \dots \dots \quad (1)$$

であらわされる。したがつて、浸透能 f は次式で与えられる。

$$f = \nabla_{\xi=0} = \left[-k \frac{\partial}{\partial \xi} (\varphi + p) + k \cos \theta \right]_{\xi=0} \quad \dots \dots \dots \quad (2)$$

すなわち浸透能は、 λ , γ , やおよび日によってきまる。このうち、 λ は、表面付近が毛管飽和に近い状態にあると考えられるので、土の種類によつてほぼ一定値であるが、 $[\frac{\partial P}{\partial z}]_{z=0}$, $[\frac{\partial P}{\partial z}]_{z=0}$ やおよび日は斜面の状態によつて定まる。よつて、浸透能は土の種類だけではなく、境界の条件によつても変化することがわかる。

2 実験

図-1 に示すような装置によつて散水実験を行ひ、降雨量、表面流出量、浸透水流出量を測定した。図において、斜面の下端にある長さ 28 cm の部分は、斜面が無限に続いている場合とできるだけ同じ条件をもたせるために付加した斜面であつて、表面をアクリル板で覆つて不透水性とし、雨を降らせなかつた。降雨量は、100~120 mm/hr とし、平均粒径が 0.21 mm の豊浦標準砂と、0.51 mm の長尾庭砂をそれそれ 10 cm の厚さに敷いた場合、およびこれらを二層にしておのおのの厚さが 10 cm の場合の合計 4 種類の斜面について実験を行つた。なお、表面は浸食防止のため、綿布と金網で

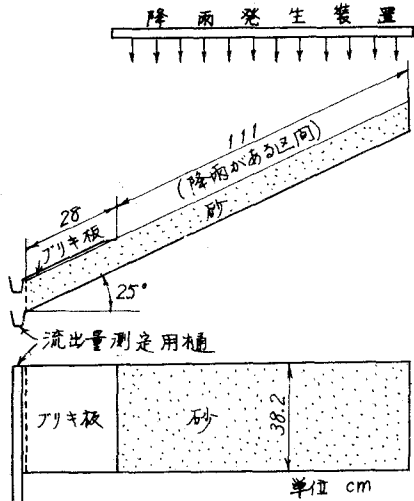


図-1 実験装置

保護した。実験は、はじめ乾燥砂の場合に一定強度の雨を降らせ、表面流出および浸透水流出が正常となる後降雨ととめ、約1日おいて再び雨を降らせ前と同じ実験を繰り返した。以下においては、前者を dry run、後者を wet run と呼ぶ。

3. 実験結果とその考察

図-2 は実験結果

の一例を示したもので、表面流出および浸透水流出の両者共に wet run の方が早く流出を始め、早く正常状態に近づく。これら結果を要約するとつきのとおりである。

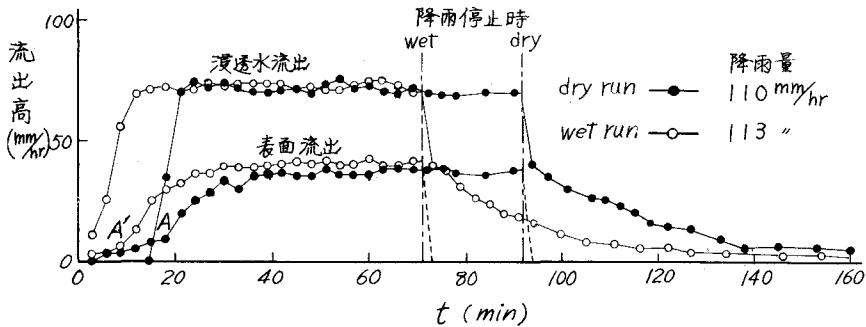


図-2 長尾硅砂(厚さ10cmの場合)

(1)表面流出量曲線は、いずれの場合に対しても、図-2のA,A'に示すような折線状となり、この時間頃から浸透水流出が急激に増加して、表面流出より早く一定値となる。また、この時間において砂が含有している水分を求めるとき、右表のようであつて、含水量はほぼ一定である。このことは、河川流域における降雨の初期損失のうち、土層を湿润させるために失われる量が土の初期含水量を考慮するとほぼ一定値となることを示すものと考えられる。

(2)上述の時間より後の表面流出は漸時増大してやがて一定値に近づくが、この期間において、特性曲線法を利用して斜面の平均浸透能を求めると、近似的に、

$$f = f_c + (f_0 - f_c) \exp(-\alpha t), \quad f_c: \text{初期浸透能}, \quad f_0: \text{最終浸透能} \quad \dots \quad (3)$$

の Horton型の浸透能曲線が成立する。時間のはかりはじめを、図-2で説明したAまたはA'点にとること、 f_c 、 f_0 および α の値を示すと右表のようである。すなわち、 f_c は、一層の場合には、粒径の細かい豊浦砂の場合が小さいが、二層では、豊浦砂が上層にある場合が大きい。このことは、(2)式において、砂中の空気が圧縮されにくいときは $\frac{\partial p}{\partial z}$ が小となりて浸透能を増大させることから説明できるだろう。 f_0 はいずれの場合にもほぼ同じ値となっているが、 α の値は、とくに二層で dry run の場合に小さく、雨水が浸透され易いことを示している。

記号	斜面の種類	厚さ	dry run	wet run
N	長尾硅砂一層	10 cm	25.0 mm	29.9 mm
T	豊浦砂一層	10	26.9	24.1
NT	長尾:上層、豊浦:下層	20	55.6	50.4
TN	豊浦:上層、長尾:下層	20	57.4	57.1

記号	f_c (mm/hr)	f_0 (mm/hr)	α (min ⁻¹)
N { dry wet }	71.7	102.7	0.118
	71.7	106.2	0.124
T { dry wet }	34.9	110.9	0.122
	34.9	112.4	0.099
NT { dry wet }	78.4	98.4	0.021
	78.4	101.4	0.072
TN { dry wet }	95.5	113.5	0.026
	95.5	107.5	0.155

(3)降雨停止後の浸透水流量は、ほぼ指數的に減衰することが確認された。

終りに、本研究に当たり御懇意な御指導を賜わった石原教授および実験に助力して載いた北井克彦君に感謝するとともに、文部省科学研究費による研究であることを付記する。